

b) Näherung für schwach gebundene Elektronen

(i) Leeres Gitter:

Amplitude des periodischen Potentials so klein, dass
 $\tilde{V}_0 = 0$ gilt:

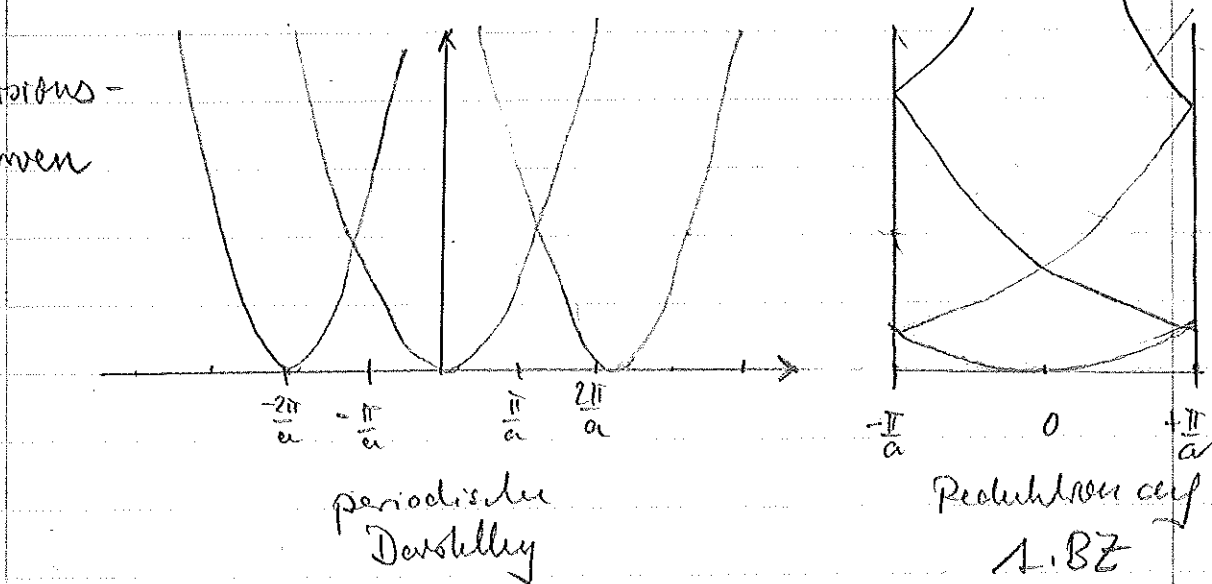
$$E_k = E_{k+G} = \frac{\hbar^2}{2m} |k + \vec{G}|^2$$

→ Dispersionskurven sind Parabeln im k -Raum, die um \vec{G} verschoben sind.

für 1-dim. „leeres“ Gitter mit Gitterkonst. a :

(→ kürzeste reciproke Gittervektoren $g = \frac{2\pi}{a}$) Fig. 4.8

Dispersions-
kurven



Wie man durch Reduktion auf die 1.BZ sieht:

verschiedene Energieniveaus E_k gehören zum gleichen Wellenzustand k .

Im 3 Dimensionen sind die Energiedisparitätskurven „freie Elektronen in einem leeren Gitter“ weiter hauptstruktur. Insbesondere kommt es bei realen Kristallen zu Energiedifferenzen zwischen den „Zweigen“. Wie im nächsten Abschnitt gezeigt wird führt die Berücksichtigung des endlichen periodischen Potentials zum Aufheben der Energiedifferenzen.

(ii) „Schwadis“ periodisches Gitterpotential (lineare Kette)
1-dimensional

Um die Ergebnisse zu verstehen betrachtet man die Elektronenbewegung an den Atomen des Gitters.

Bei 1-dim. Ketten erfährt Elektron an jedem Atom Strom.

Erfüllt der Wellenvektor \vec{k}' des Elektrons die Schiebedelegz

$$\vec{R} = (\vec{k} - \vec{k}') = \vec{G}$$

so erfährt das Elektron „Bragg-Pfeilwider“.

Der die reflektierte Welle in entgegen gesetzter Richtung läuft, gilt: $\vec{k}' = -\vec{k}$ und damit $\vec{R} = 2\vec{k}$, d.h. Bragg-Reflexion tritt beim Wellenvektor

$$|\vec{R}| = \pm \frac{g}{a} = \pm \frac{\pi}{a}$$

auf, d.h. für Wellenvektoren auf der Grenzfläche der 1BZ tritt Reflexion auf ... Überlagerung von ein/auslaufender Welle

→ Schwingende Welle:

$$\begin{aligned} \text{2. Mögl. } & \left. \begin{aligned} \psi_s &\sim e^{ig_s x} + e^{-ig_s x} \sim \cos\left(\frac{g_s x}{2}\right) \rightarrow \text{erhöhte e. Dichte} \\ \psi_a &\sim e^{ig_a x} - e^{-ig_a x} \sim \sin\left(\frac{g_a x}{2}\right) \end{aligned} \right\} \text{... } \text{... } \text{... } \text{... } \text{... } \end{aligned}$$

Im Gegensatz zur räuml. konst. Ladung erhält eine laufende Welle ist bei ψ_s / ψ_a die Elektronendichte in Kommode erhöht/entzerrt.

Das führt zu einer Abschirring/Antiknoten der Elektronendichte.

Bild. Fig. 4.9

Die Schrödinger Gl. besitzt also an Zonengrenze 3 Lsg mit unterschiedl. Energ. → Erhöht die Brüderlichkeit \Rightarrow s. S. 4-17
Fig. 4.10:

In 1-dim. „längen Gitter“ schneiden sich 3 „Dispersionsparabeln“ bei $k_x = g_s = g_a$ so dass die 2 entartete Lsg zu einem Koeff. C_K und C_{K-g} gehören. Ist die periodische Störung schwach so sollte der Hauptbeitrag zum Wellenfkt ebenfalls von dieser Lsg stammen (Beiträge von BZ höherer Ordnung sollten kaum wesentliche Rolle spielen).

2-Komponenten Näherung:

Zur Schrödinger-(***)-Gleichung (Hauptgl. der Bandstruktur) treten nur 2 Komponenten c_k und c_{k-g} bei:

$$\left(\frac{\hbar^2 k^2}{2m} - E \right) c_k + \tilde{V}_g c_{k-g} = 0$$

$$\left(\frac{\hbar^2 (k-g)^2}{2m} - E \right) c_{k-g} + \tilde{V}_g c_k = 0$$

(aufgrund der Inversionsymmetrie des Gitters: $\tilde{V}_g = -\tilde{V}_g$)

Daraus erhält man die beiden entsprechenden Energiewerte:

$$E_{s,a} = \frac{1}{2} \left(E_k^0 + E_{k-g}^0 \right) \mp \sqrt{\frac{1}{4} \left(E_{k-g}^0 - E_k^0 \right)^2 + \tilde{V}_g^2}$$

$$s=- \quad a=+$$

wobei $E_k^0 = \frac{\hbar^2 k^2}{2m}$ und $E_{k-g}^0 = \frac{\hbar^2 (k-g)^2}{2m}$ die Eigenwerte des freien Gitters sind.

Da bei $k = \frac{G}{2}$ gilt: $E_{k-g}^0 = E_k^0$ vereinfacht sich die Ausdrücke an den Zonengrenzen zu:

$$E_{s,a} = E_k^0 \pm |\tilde{V}_g| \quad \text{mit } E_k^0 = \frac{\hbar^2 k^2}{2m}$$

bzw. $E_a - E_s = \Delta E = 2|\tilde{V}_g|$

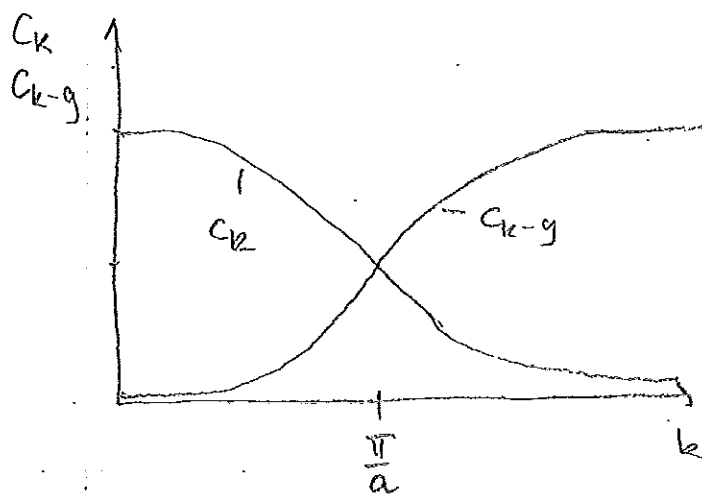
Die Energieaufspaltung wird also durch die erste Fourier-Komponente des Potentials $\tilde{V}(r)$ gegeben.

Die Wellenfunktion für die beiden Energieniveaus:

$$\psi = c_k \exp(i k r) + c_{k-g} \exp(i (k-g) r)$$

unterscheiden sich nun an den Zonengrenzen durch den k -Abh. Verlauf der Koeffizienten c_k und c_{k-g} , den man

aus den 2-komponierten Wälzley bestimmen kann:



$$\frac{c_{k-g}}{c_k} = \frac{E - \hbar^2 k^2 / 2m}{\tilde{V}_g}$$

$$\left| \frac{c_{k-g}}{c_k} \right|_{g/k} = \frac{|E_0 \pm i\tilde{V}_g| - E_0^0}{\tilde{V}_g} = \pm 1$$

Die Koeffizienten wechseln
grundsätzlich ihre Rolle.

d.h. je nach E-Eigenwert E_0
erhält man die symm./antisymm.!

Für die Energiedispersion haben E_k ein periodisches Gitter mit 'schwadum' Potenzial. Sieht sich je nach Darstellung der folgende Verlauf: → Fig. 4.11 (Hunkhij S. 293)

- erweitertes Zonenschema
- reduziertes Zonenschema
- periodisches Zonenschema

Die Periodizität des Potentials führt also zu einer
Eigentlichen Zonenstruktur des erlaubten Energieniveaus.
Die hier durchgeföhrte Behandlung ist geeignet für
Metalle.

Die Behandlung von Isolatoren gründet auf das
Modell „stark gebunden“ Elektron zurück.

c.) Bewegungsgl. des Elektrons und effektive Masse

Bisher wurden Elektronen als „ausgezogene“ Wellen behandelt. Inwieweit lassen sich aber auch klassisch die Gleichungen der Ph.-Mechanik auf das Elektron im FK anwenden?

(i) Elektronen als Wellenpaket:

Aufgrund der Heisenberg'schen Unschärferelation können Orts- und Wellenvektor des Elektrons nicht gleichzeitig exakt bekannt sein.

Eine „begrenzte“ Lokalisierung des Elektrons erreicht man mit einer Überlagerung von Wellen mit unterschiedl. Wellenvektoren. Freie Elektronen lassen sich durch die Überlagerung von ebenen Wellen als Wellenpaket darstellen:

$$\psi(\vec{r}, t) = \sum g(\vec{k}) \exp(i(\vec{k}\vec{r} - \frac{\hbar^2 k^2}{2m} \cdot t))$$

(Die entsprechende Wahl des Entwicklungscoeff. $g(\vec{k})$ aus einem engen Intervall Δk führt zu einer Lokalisierung)

Im FK heten statt der ebenen Wellen Blochwellen auf \rightarrow die entsprechenden entsprechenden Wellenpakte erlauben eine einfache semi-klass. Beschreibung

Der Wellenvektor (relativ) gut definiert sein sollte nach „Kunsdröfe“ ein k -Raum klein als die 1. BZ sein \rightarrow räumliche Ausdehnung Δx des Wellenpakets $>$ Gitterabstand a . Damit semi-klass. Beschreibung sinnvoll ist, muß ein äußeres Störfeld (z.B. E -Feld) eine Wellenlänge $\lambda \gg \Delta x$ haben.

Unter diesen Voraussetzungen:

Dre Gruppengeschwindigkeit mit der sol. die Schwingung des Wellenpaketts bei Anlegen eines äußeren \vec{E}/\vec{B} .
 Relativ bewegt ergibt sich durch diese die Dispersionserelation $E_n(\vec{k})$ des Energibandes 2:

$$(*) \quad \vec{v}_n(\vec{k}) = \frac{1}{\hbar} \nabla_{\vec{k}} E_n(\vec{k}) = \frac{1}{\hbar} \frac{d E_n(\vec{k})}{d \vec{k}} \quad (1-\text{dim.})$$

Band abh.
 Gruppengeschw.

Gem.: Für freie Elektronen und ein parabolförmiges Dispersionsschema $E = \frac{\hbar^2 k^2}{2m}$ folgt die Gruppengeschwindigkeit $v_g = \frac{\hbar k}{m}$.

Wird auf ein Elektron ein äußere Kraft \vec{F} so ändert
 sich sein Wellenvektor \vec{k}' und damit sein Quasi-Energie $E' \vec{k}'$.

$$(**) \quad \hbar \frac{d \vec{k}'}{dt} = \vec{F} = -e (\vec{E}_{\text{el}} + \vec{v}_n(\vec{k}) \times \vec{B})$$

Die Herleitung dieser „semi-klassischen“ Bewegung gilt
 für den Fall, daß die Elektronen mit dem periodischen
 Kristallgitter wechselwirken ist aufwändig.
 Wie auch bei den Blochfunktionen ist auch hier der
 Wellenvektor bez auf reciproquer Gittervektor \vec{G}
 gegeben. Deshalb benennt man \vec{k}' als Quasimodus.

Aus Gl. (*) und (**) folgt für die Gruppengeschwindigkeit
 (Bandindex n wird im folgenden Weg gelassen): Felder
 sollen nicht ausserdem interband-Übergänge auftreten):

$$\begin{aligned} \vec{v}' &= \frac{d}{dt} \left(\frac{1}{\hbar} \left(\frac{\partial E}{\partial \vec{k}} \right) \right) = \frac{1}{\hbar} \frac{\partial}{\partial \vec{k}'} \left(\frac{1}{\hbar} \frac{\partial E}{\partial \vec{k}} \right) \cdot \hbar \vec{k}' \\ &= \frac{1}{\hbar^2} \cdot \frac{\partial^2 E(\vec{k})}{\partial \vec{k} \partial \vec{k}'} \cdot \vec{F} \end{aligned}$$

Bzw. f. 1-dm. Fall:

$$\ddot{v} = \frac{1}{\hbar^2} \cdot \frac{d^2 E(k)}{dk^2} \cdot F = \frac{1}{m^*} \cdot F$$

$$\text{mit effektiver Masse } \frac{1}{m^*} = \frac{1}{\hbar^2} \cdot \frac{d^2 E(k)}{dk^2}$$

Beim: Im allg. 3-dm Fall ist die effektive Masse kein skalar
sondern ein Prozess-abh. Tensor: $\left(\frac{1}{m^*}\right)_{ij} = \frac{1}{\hbar^2} \frac{\partial^2 E(k)}{\partial k_i \partial k_j}$

Bemerk man m^* findet man die Bewegsg. gl.

der klass. Mechanik: $\begin{cases} m^* \ddot{v} = F \\ m^* \ddot{v} = F' \end{cases}$
bzw.

Bei m^* spricht man von einer dynamischen Masse:
Die Kenntnis der Eigendispersion ist ausreichend
um die Bewegg. des Elektrons im Kristall zu
beschreiben.

Bei allen "dynamischen" Berechnungen für Elektronen in PR
wird stell. der tatsächl. Masse der effektiv.
Masse benutzt, die sehr stark von einander
abweichen können.